

# Introduction à la mécanique des fluides numérique : schéma de Volumes Finis

**H. El-Otmany**

**ATER & docteur en mathématiques appliquées  
Département Techniques de commercialisation  
IUT de Tarbes**

**Email personnel :** [hamou.elotmany@gmail.com](mailto:hamou.elotmany@gmail.com)

**Email professionnel :** [hammou.el-otmany@iut-tarbes.fr](mailto:hammou.el-otmany@iut-tarbes.fr)

**Website :** [www.hamouelotmany.github.io](http://www.hamouelotmany.github.io)

IPSA, 15 Février 2022

*"Composition en caractère Cochin sur un ordinateur Apple MacBook Pro 13 à l'aide des logiciels libres suivants : $\text{\LaTeX}$   $\text{\LaTeX}_2\epsilon$  pdf $\text{\LaTeX}$  Xfig Grace*

*version : Cours\_IPSA\_20220120.tex du 31 mars 2022 Copyright ©2022 by H.  
El-Otmany*

# Outline d'exposé

## 1 Introduction à la mécanique des fluides numériques

- Introduction et motivation
- Méthode des différences finies
- Méthodes des éléments finis
- Méthode de volumes finis

## 2 Méthode de volumes finis en 1D

- Étapes de mise en œuvre de la méthode
- Application au problème unidimensionnel de diffusion
- Tests numériques

## 3 Méthode de volumes finis en 2D

- Application au problème bidimensionnel de diffusion
- Tests numériques

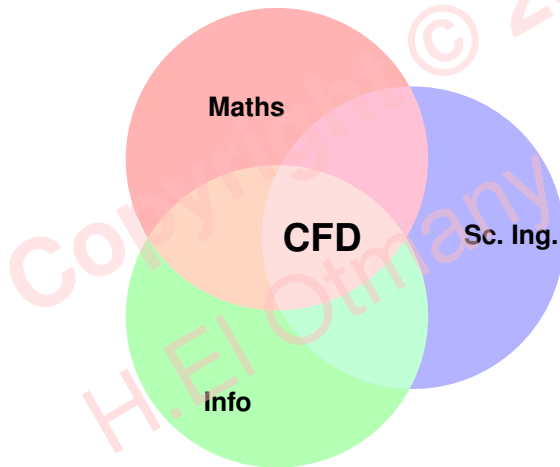
## 4 Prototype du calcul par CFD

# Mécanique des fluides numérique (CFD)

- 1 Introduction à la CFD
- 2 Étapes essentielles pour résoudre un problème physique en CFD
- 3 Méthodes numériques d'approximation

# Introduction à la mécanique des fluides numérique ?

- La mécanique des fluides numérique est une discipline carrefour entre les sciences de l'ingénieur, les mathématiques et l'informatique.



# Étapes essentielles pour résoudre un problème physique en CFD

## ① la modélisation du phénomène :

- décrire le comportement de systèmes physiques pour prédire, optimiser, contrôler le comportement de ces systèmes
- mise en équation des phénomènes physiques observés
- décrire les hypothèses, le domaine de validité, la description partielle parfois erronée de la réalité, ...  $\rightsquigarrow$  erreurs de modélisation

## ② l'analyse mathématique :

- étude des équations modélisant le phénomène
- existence, unicité de solutions
- analyse de la stabilité et la singularité des solution (stables, instables, singulières, ...)  $\rightsquigarrow$  erreurs de calcul

## ③ la résolution numérique et le développement informatique : il existe beaucoup de problèmes n'ayant pas de solutions explicites, donc nous se retournons aux ordinateurs pour les résoudre.

- choix et étude de la méthode de résolution (volumes finis, différences finies, éléments finis,...)  $\rightsquigarrow$  erreurs numériques
- écriture des algorithmes de résolution
- analyse et traitement de la solution

# Pourquoi des simulations numériques ?

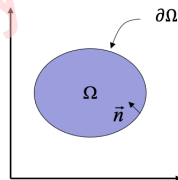
- 1 Investigation du comportement de systèmes complexes (absence de solution analytique).
- 2 Mise en œuvre et test de modèles théoriques pour confrontation aux expériences.
- 3 Cas inaccessibles aux méthodes expérimentales non intrusives.
- 4 Accès à des données expérimentales difficilement mesurables.
- 5 Souplesse phase R&D d'un projet industriel, coût moindre que la réalisation de prototypes.

# Méthodes numériques d'approximation

- **Méthodes numériques d'approximation** : différences finies, éléments finis, volumes finis.
- **Idée** : passage d'un problème continu (dimension infinie) à problème discret (dimension finie).
- **Objectif** : permet d'approcher la solution d'une équation différentielle régissant un phénomène donnée

$$\begin{cases} L(u) &= f \text{ dans } \Omega, \text{ (problème différentiel)} \\ \alpha u + \beta \frac{\partial u}{\partial n} &= h \text{ sur } \partial\Omega, \text{ (Conditions aux limites)} \end{cases}$$

où  $\alpha, \beta$  sont des réels ( $\alpha \neq 0, \beta = 0$  : cond. de Dirichlet,  $\alpha = 0, \beta \neq 0$  : cond. de Neumann,  $\alpha \neq 0, \beta \neq 0$  : cond. de Robin).



- **Applications** : mécanique des fluides, mécanique des structures, ...

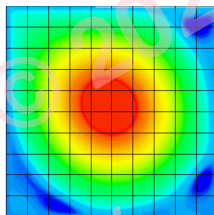
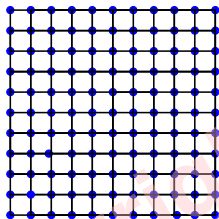


# Pourquoi se méfier des méthodes numériques ?

- 1 Sources d'erreurs inhérentes associées à la méthode utilisée.
- 2 Seule la physique modélisée est observée.
- 3 Coût en temps de calcul augmentant très rapidement avec la précision souhaitée (risque de sous-résolution selon le domaine de validité du problème).
- 4 Artefacts numériques : instabilités, dispersions, diffusion, ...

# Méthode des différences finies

- Domaine cible approché par une grille cartésienne.



**Source de l'image (PFE-Bac+3-Helotmany)**

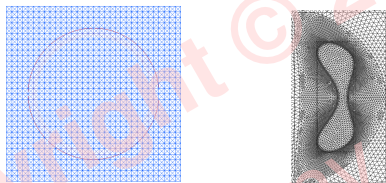
- Dérivées partielles approchées par différence divisées (Dév. Taylor-Lagrange) :

$$\frac{\partial u}{\partial x} \approx \frac{u(x+h) - u(x)}{h}; \quad \frac{\partial^2 u}{\partial x^2} \approx \frac{u(x-h) - 2u(x) + u(x+h)}{2h}$$

- Avantage : très simple à développer et à utiliser.
- Inconvénient : limités à des géométries simples et ne conservent pas les propriétés physiques (flux, ...)

# Méthode des éléments finis

- Domaine cible est complexe.
- Utilisation de maillage similaire des volumes finis (cellules jointives non inter-pénétrantes)



**Source de l'image (PhD-Helotmany).**

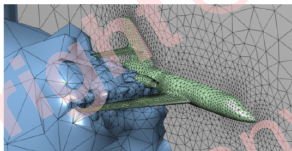
- Interpolation de solution par les fonctions polynomiales par morceaux ou de forme ou modales  $\phi_i$  :

$$u(x) \approx \sum_{i=1}^n \alpha_i \phi_i(x), \quad \alpha_i \in \mathbb{R}.$$

- Avantage : précision arbitrairement élevée.
- Inconvénient : certains problèmes de stabilité.

# Méthode des volumes finis

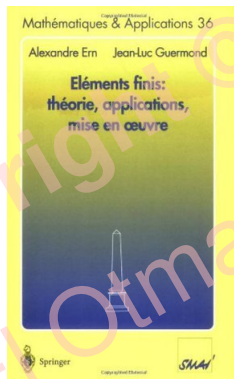
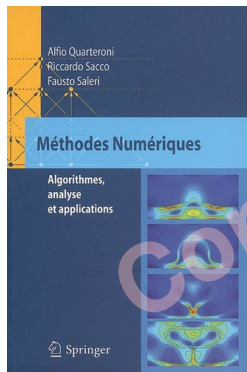
- Domaine de calcul subdivisé en volumes de contrôles (polygones, polyèdres).
- Utilisation de maillage similaire des éléments finis (cellules jointives non inter-pénétrantes)



**Source de l'image (CSR of California University).**

- Calcul d'intégrale de l'EDP sur chaque volume de contrôle par le théorème de divergence.
- Avantages : géométries complexes, approche naturelle en mécanique des fluides, bonne conservation des propriétés physiques (conservation du flux, bornes des solutions, ...).
- Inconvénient : moins évidente à appliquer dans d'autres domaines.

# Supports pédagogiques



Dans ce cours, nous n'exposerons que la méthode des volumes finis.

## Méthode des volumes finis

- 1 Étapes de résolution de la méthode des volumes finis.
- 2 Restriction : EDP linéaires (diffusion et advection) en  $1D$  et  $2D$ .
- 3 On utilisera des problèmes simples (de solutions exactes connues) pour analyser le comportement de cette méthode.

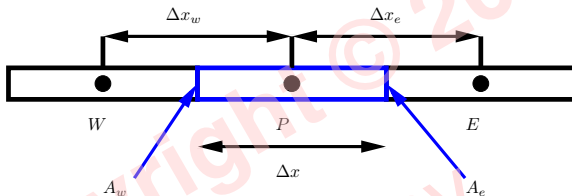
# Méthode des volumes finis

## Étapes de résolution de la méthode des volumes finis

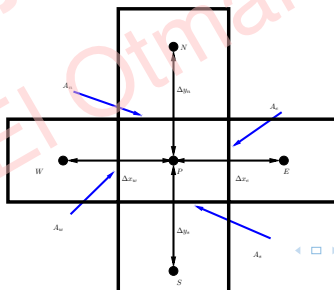
- 1 Définition de l'équation du phénomène étudié.
- 2 Discrétisation du domaine de validité du phénomène étudié (subdivision en volumes élémentaires).
- 3 Intégration de l'équation sur chaque volume du contrôle (théorème de Gauss ou de divergence ou d'Ostrogradski).
- 4 Traitement des conditions aux limites.
- 5 Construction du système d'équation algébrique résultant et sa résolution matricielle.
- 6 Présentation des résultats (comparaison avec la solution explicite ou à l'expérience).

# Exemples de volume de contrôle

- Volume du contrôle en 1D (chaque nœud représente des grandeurs physiques :  $T$ ,  $v$ ,  $p$ , ...)



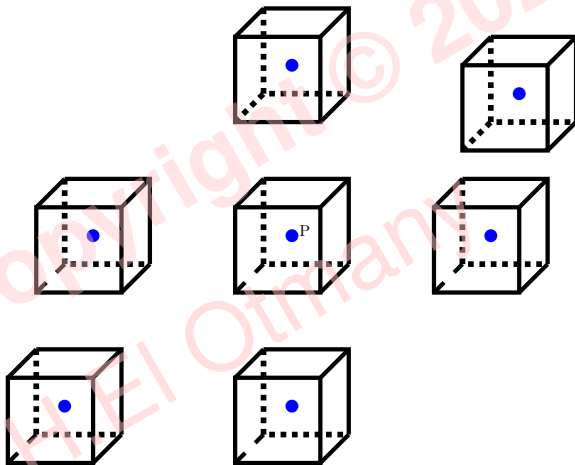
- Volume du contrôle en 2D





# Méthode des volumes finis

- Volume du contrôle de 3D



Mise en application de volumes finis en 1D :  
phénomène du transfert de chaleur

# Étape 1 : définition de l'équation du transfert de chaleur à résoudre

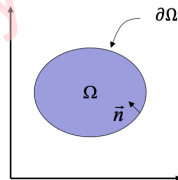
On considère l'équation de la chaleur sur un domaine  $\Omega$  :

$$\frac{\partial(\rho c_p T)}{\partial t} + \nabla(\rho c_p v T) - \text{div}(\kappa \nabla T) = S_T$$

Temporel + Transport + Diffusion = Source de chaleur

avec

- $T$ , la température (K)
- $\rho$ , la masse volumique ( $\text{Kg} \cdot \text{m}^{-3}$ )
- $c_p$ , la capacité calorifique ( $\text{J} \cdot \text{Kg}^{-1} \cdot \text{K}^{-1}$ )
- $t$ , le temps (s)
- $v$ , la vitesse ( $\text{m} \cdot \text{s}^{-1}$ )
- $\kappa$ , la conductivité thermique ( $\text{W} \cdot \text{m}^{-1} \cdot \text{K}^{-1}$ )
- $S_T$ , la source de chaleur volumique ( $\text{W} \cdot \text{m}^{-3}$ )



**Observation 1** : pour mieux comprendre la méthode des volumes finis, on suppose que

- $\Omega$  : une plaque rectangulaire  $[0, l] \times [0, L]$ .
- $\frac{\partial T}{\partial t} = 0$  : un problème stationnaire.
- $S_T = 0$  : le terme source est nul.
- $L \gg \gg l$  :

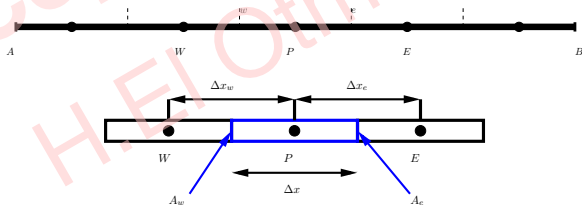


Par conséquent,  $\frac{\partial}{\partial x} \left( \kappa \frac{\partial T}{\partial x} \right) = 0$ .

- Conditions de Dirichlet en  $x = 0$  et  $x = L$  telles que  $T(0) = T_A$  et  $T(L) = T_B$ .

## Étape 2 : discrétisation de domaine du phénomène

- 1 En **MAJUSCULE**, on notera les grandeurs relatives aux **VOLUMES** et aux **NŒUDS** :
  - Nœud du volume considéré ;  $P$ .
  - Nœud du voisin de gauche de  $P$  ;  $W$  (west).
  - Nœud du voisin de droite de  $P$  ;  $E$  (est).
  - Température en  $P$ ,  $E$  et  $W$  ;  $T_P$ ,  $T_E$  et  $T_W$ .
  - Taille du volume (distance entre les faces du volume) ;  $\Delta x$ .
- 2 En **minuscule**, on notera les grandeurs relatives aux **frontières** des volumes :
  - Face à droite du volume  $P$  (est) ;  $e$ .
  - Face à gauche du volume  $P$  (west) ;  $w$ .
  - Distance séparant les nœuds et ses voisins ;  $\Delta x_e$ ,  $\Delta x_w$ .



## Étape 3 : Intégration de l'équation sur chaque volume du contrôle

### Théorème de la divergence

Supposons que  $S$  est une surface fermée délimitant le volume  $V$ . Soient  $\mathbf{u}$  un champ vectoriel de classe  $C^1$  et  $\vec{n}$  un vecteur normal vers l'extérieur de  $V$ , alors :

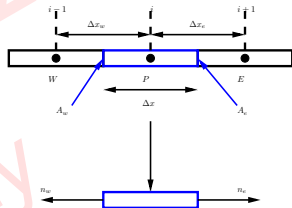
$$\int_V \operatorname{div}(\mathbf{u}) dV = \int_S \mathbf{u} \cdot \vec{n} dS.$$

En appliquant le théorème de la divergence, nous avons

$$\begin{aligned} \int_V \operatorname{div}(\kappa \nabla T) dV &= \int_S \kappa \nabla T \cdot \vec{n} dS = 0 \\ \int_{V_P} \frac{\partial}{\partial x} \left( \kappa \frac{\partial T}{\partial x} \right) dV &= \int_{S_P} \kappa \frac{\partial T}{\partial x} \cdot \vec{n} dS = 0 \end{aligned}$$

Les flux diffusifs sont approchés en discrétisant les expressions des gradients sur les faces avec les températures des nœuds :

$$\begin{aligned}
 \int_{S_P} \kappa \frac{\partial T}{\partial x} \cdot \vec{n} dS &= \left[ \left( \kappa \frac{\partial T}{\partial x} \right)_w n_w A_w \right] + \left[ \left( \kappa \frac{\partial T}{\partial x} \right)_e n_e A_e \right] \\
 &= \left[ \left( \kappa \frac{\partial T}{\partial x} \right)_w (-1) A_w \right] + \left[ \left( \kappa \frac{\partial T}{\partial x} \right)_e (1) A_e \right] \\
 &= \left( \kappa \frac{\partial T}{\partial x} \right)_e A_e - \left( \kappa \frac{\partial T}{\partial x} \right)_w A_w \\
 &= \left( \kappa_e \frac{T_E - T_P}{\Delta x_e} A_e \right) - \left( \kappa_w \frac{T_P - T_W}{\Delta x_w} A_w \right)
 \end{aligned}$$



où  $A_e$  et  $A_s$  désigne les sections transversales (très petites).

Par un simple calcul, on obtient

$$\int_{S_P} \kappa \frac{\partial T}{\partial x} \cdot \vec{n} dS = \kappa_e \frac{A_e}{\Delta x_e} T_E - \left( \kappa_e \frac{A_e}{\Delta x_e} + \kappa_w \frac{A_w}{\Delta x_w} \right) T_P + \kappa_w \frac{A_w}{\Delta x_w} T_W = 0.$$

Posons

$$a_E = \frac{\kappa_e A_e}{\Delta x_e}, \quad a_W = \frac{\kappa_w A_w}{\Delta x_w}, \quad a_P = a_E + a_W,$$
$$\kappa_e = \frac{\kappa_E + \kappa_P}{2}, \quad \kappa_w = \frac{\kappa_W + \kappa_P}{2}.$$

On obtient, pour chaque volume du contrôle de la plaque rectangulaire, une équation de type :

$$a_E T_E - a_P T_P + a_W T_E = 0$$



## Étape 4 : Traitement des conditions aux limites

- Nœud 1 :

$$\begin{aligned}\left(\kappa \frac{\partial T}{\partial x} A\right)_e - \left(\kappa \frac{\partial T}{\partial x} A\right)_w &= \left(\kappa_e \frac{T_E - T_P}{\Delta x_e} A_e\right) - \left(\kappa_w \frac{T_P - T_A}{\frac{\Delta x_w}{2}} A_w\right) \\ &= \left(\kappa_e \frac{T_E - T_P}{\Delta x_e} A_e\right) - \left(2\kappa_w \frac{T_P - T_A}{\Delta x_w} A_w\right) \\ &= a_E T_E - a_E T_P - 2a_w T_P + 2a_w T_A = 0.\end{aligned}$$

Donc

$$a_E T_E - (a_E + 2a_w) T_P = -2a_w T_A.$$

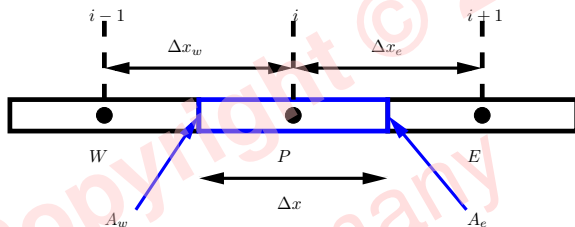
- Nœud 5 :

$$\begin{aligned} \left( \kappa \frac{\partial T}{\partial x} A \right)_e - \left( \kappa \frac{\partial T}{\partial x} A \right)_w &= \left( \kappa_e \frac{T_B - T_P}{\frac{\Delta x_e}{2}} A_e \right) - \left( \kappa_w \frac{T_P - T_W}{\Delta x_w} A_w \right) \\ &= \left( 2\kappa_e \frac{T_E - T_P}{\Delta x_e} A_e \right) - \left( \kappa_w \frac{T_P - T_W}{\Delta x_w} A_w \right) \\ &= 2a_E T_B - 2a_E T_P - a_W T_P - a_W T_W = 0. \end{aligned}$$

Donc

$$-(2a_E + 2a_W)T_P + a_W T_W = -2a_E T_B.$$

## Étape 5 : Construction du système d'équation algébrique résultant et sa résolution matricielle



$$a_W T_W - a_P T_P + a_E T_E = 0,$$

$$a_{i-1} T_{i-1} - a_i T_i + a_{i+1} T_{i+1} = 0, \quad 2 \leq i \leq 4.$$

## Étape 5 : Formulation du système d'équation algébrique résultant et sa résolution matricielle

- Nœuds 2, 3 et 4 :

$$a_1 T_1 - a_2 T_2 + a_3 T_3 = 0,$$

$$a_2 T_2 - a_3 T_3 + a_4 T_4 = 0,$$

$$a_3 T_3 - a_4 T_4 + a_5 T_5 = 0.$$

- Nœud 1 :  $-a_1 T_1 + a_2 T_2 = 2a_W T_A$ .

- Nœud 5 :  $a_4 T_4 - a_5 T_5 = -2a_E T_B$ .

On écrit ainsi :

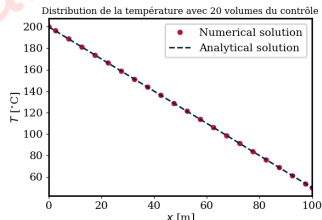
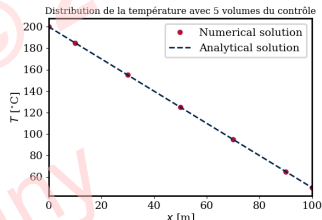
$$\begin{bmatrix} -a_1 & a_2 & 0 & 0 & 0 \\ a_1 & -a_2 & a_3 & 0 & 0 \\ 0 & a_2 & -a_3 & a_4 & 0 \\ 0 & 0 & a_3 & -a_4 & a_5 \\ 0 & 0 & 0 & a_4 & -a_5 \end{bmatrix} \begin{bmatrix} T_1 \\ T_2 \\ T_3 \\ T_4 \\ T_5 \end{bmatrix} = \begin{bmatrix} -2a_W T_A \\ 0 \\ 0 \\ 0 \\ -2a_E T_B \end{bmatrix}.$$

**Remarque :** la démarche est valable pour  $n$  volumes du contrôles.

# Étape 6 : Présentation des résultats numériques

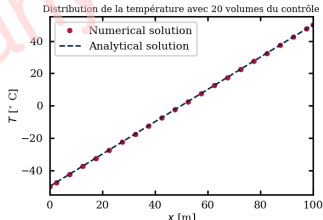
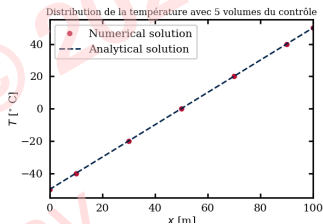
## 1 Cas test : Dirichlet

- Développement informatique de la méthode des volumes finis en Python (code disponible sur demande).
- Données :
  - ▶  $L = 100\text{m}$ ,  $l = 0.0001\text{m}$ .
  - ▶  $T_A = T(0) = 200^\circ\text{C}$  et  $T_B = T(100) = 50^\circ\text{C}$ .
  - ▶  $S_T = 0$  pour tout  $x \in [0; L]$ .
  - ▶ Conductivité thermique  $\kappa = 100\text{W} \cdot \text{m}^{-1} \cdot \text{K}^{-1}$ .
- Simulations :  $n_1 = 5$ ,  $n_2 = 20$



## 2 Cas test : Dirichlet + Neumann

- Développement informatique de la méthode des volumes finis en Python (code disponible sur demande).
- Données :
  - ▶  $L = 100\text{m}$ ,  $l = 0.0001\text{m}$ .
  - ▶  $-\left(\kappa \frac{\partial T}{\partial n}\right)_{x=0} = 100$  et  $T_B = T(100) = 50^\circ\text{C}$ .
  - ▶  $S_T = 0$  pour tout  $x \in [0; L]$ .
  - ▶ Conductivité thermique  $\kappa = 100\text{W} \cdot \text{m}^{-1} \cdot \text{K}^{-1}$ .
- Simulations :  $n_1 = 5$ ,  $n_2 = 20$



### 3 Cas test : $S_T$ n'est pas nulle + conditions de Dirichlet

- Intégration de l'équation sur chaque volume du contrôle (idem +  $\bar{S}_T \Delta x$ ).
- Traitement des conditions aux limites (idem +  $\bar{S}_T \Delta x/2$ ).
- Construction du système d'équation et résolution matricielle
  - ▶ Nœuds 2, 3 et 4 :

$$a_1 T_1 - a_2 T_2 + a_3 T_3 = \bar{S}_T \Delta x,$$

$$a_2 T_2 - a_3 T_3 + a_4 T_4 = \bar{S}_T \Delta x,$$

$$a_3 T_3 - a_4 T_4 + a_5 T_5 = \bar{S}_T \Delta x.$$

▶ Nœud 1 :  $-a_1 T_1 + a_2 T_2 = 2a_W T_A + \bar{S}_{T_1} \Delta x/2$ .

▶ Nœud 5 :  $a_4 T_4 - a_5 T_5 = -2a_E T_B + \bar{S}_{T_5} \Delta x/2$ .

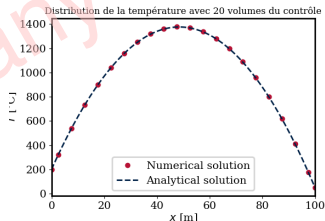
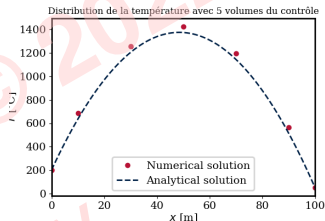
On écrit ainsi :

$$\begin{bmatrix} -a_1 & a_2 & 0 & 0 & 0 \\ a_1 & -a_2 & a_3 & 0 & 0 \\ 0 & a_2 & -a_3 & a_4 & 0 \\ 0 & 0 & a_3 & -a_4 & a_5 \\ 0 & 0 & 0 & a_4 & -a_5 \end{bmatrix} \begin{bmatrix} T_1 \\ T_2 \\ T_3 \\ T_4 \\ T_5 \end{bmatrix} = \begin{bmatrix} -2a_W T_A + \bar{S}_{T_1} \Delta x/2 \\ \bar{S}_{T_2} T \Delta x \\ \bar{S}_{T_3} \Delta x \\ \bar{S}_{T_4} \Delta x \\ -2a_E T_B + \bar{S}_{T_5} \Delta x/2 \end{bmatrix}.$$

• Données :

- $L = 100\text{m}$ ,  $l = 0.0001\text{m}$ .
- $T_A(0) = 200^\circ\text{C}$  et  $T_B = T(100) = 50^\circ\text{C}$ .
- $S_T = 100$  pour tout  $x \in [0; L]$ .
- Conductivité thermique  
 $\kappa = 100\text{W} \cdot \text{m}^{-1} \cdot \text{K}^{-1}$ .

• Simulations :  $n_1 = 5$ ,  $n_2 = 20$

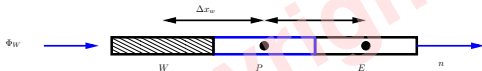




# Traitement des cas particuliers de conditions aux limites

- Le flux sur la face west  $W$  est le flux sur la face extérieur de la plaque :

$$\kappa_e \frac{T_E - T_P}{\Delta x_e} + \Phi_W + \bar{S} \Delta x / 2 = 0$$



Si la condition aux limites de convection + le flux imposé sur la face ouest s'écrit

$$\Phi_W = h_W (T_{ext} - T_P) A_w + \phi_w A_w$$

avec

- $h_W$ , le coefficient d'échange convectif ( $W \cdot m^{-2} \cdot K^{-1}$ ).
- $T_{ext}$ , la température du fluide à l'infini ( $K$ ).
- $\phi_w$ , le flux imposé sur la face ouest ( $W \cdot m^{-2}$ ).

$$\leadsto a_E T_E - (a_E + h_W) T_P + a_W T_W = \bar{S}_T \Delta x / 2 + h_W T_{ext} + \phi_w.$$

Mise en application de volumes finis en 2D :  
phénomène du transfert de chaleur

# Étape 1 : définition de l'équation du transfert de chaleur à résoudre

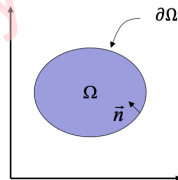
On considère l'équation de la chaleur sur un domaine  $\Omega$  :

$$\frac{\partial(\rho c_p T)}{\partial t} + \nabla(\rho c_p v T) - \text{div}(\kappa \nabla T) = S_T$$

Temporel + Transport + Diffusion = Source de chaleur

avec

- $T$ , la température (K)
- $\rho$ , la masse volumique ( $\text{Kg} \cdot \text{m}^{-3}$ )
- $c_p$ , la capacité calorifique ( $\text{J} \cdot \text{Kg}^{-1} \cdot \text{K}^{-1}$ )
- $t$ , le temps (s)
- $v$ , la vitesse ( $\text{m} \cdot \text{s}^{-1}$ )
- $\kappa$ , la conductivité thermique ( $\text{W} \cdot \text{m}^{-1} \cdot \text{K}^{-1}$ )
- $S_T$ , la source de chaleur volumique ( $\text{W} \cdot \text{m}^{-3}$ )



**Observation 1 :** pour mieux comprendre la méthode des volumes finis, on suppose que

- $\Omega$  : une plaque rectangulaire  $[0, l] \times [0, L] \times [0; h]$ .
- $\frac{\partial T}{\partial t} = 0$  : un problème stationnaire.
- $S_T = 0$  : le terme source est nul.
- $k = 1$  (pour simplifier les notations)
- $L \gg \gg h, l \gg h$  :



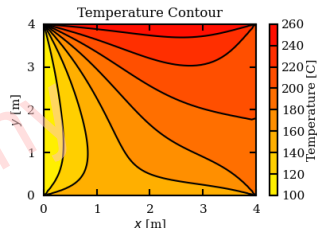
Par conséquent,  $\frac{\partial^2 T}{\partial x^2} + \frac{\partial^2 T}{\partial y^2} = 0$ .



# Présentation des résultats numériques

## 1 Cas test : Dirichlet

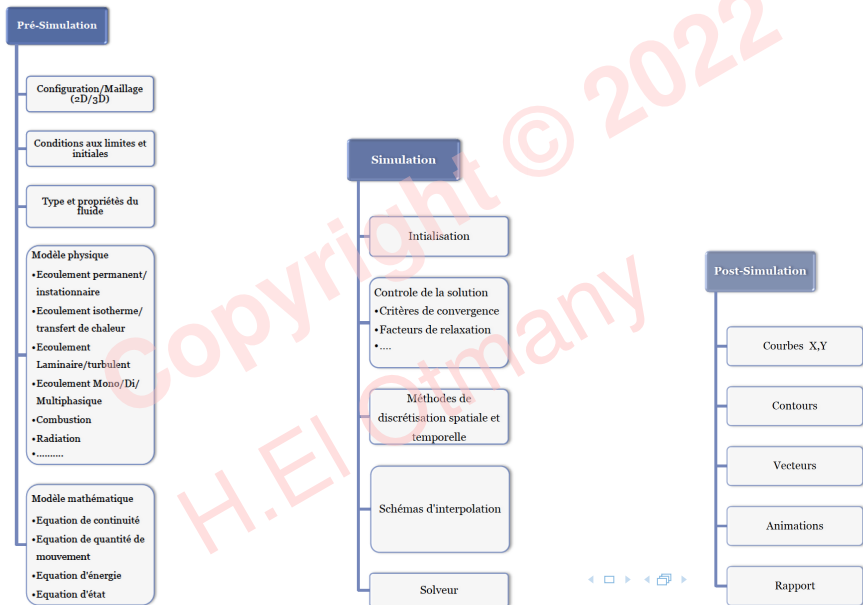
- Développement informatique de la méthode des volumes finis en Python (code disponible sur demande).
- Données :
  - ▶  $L = 4\text{m}$ ,  $l = 4\text{m}$ ,  $h = 0.01$
  - ▶  $T_N = 250^\circ\text{C}$ ,  $T_S = 150^\circ\text{C}$ ,  $T_E = 200^\circ\text{C}$  et  $T_W = 100^\circ\text{C}$ .
  - ▶  $S_T = 1000$  pour tout  $(x, y) \in [0; l] \times [0; L]$ .
  - ▶ Conductivité thermique  $\kappa = 100\text{W} \cdot \text{m}^{-1} \cdot \text{K}^{-1}$ .
- Simulations



## Prototype du calcul par CFD

- Pré-simulations (Pre-processing)
- Simulations (Processing)
- Post-simulations (Post processing)

# Prototype du calcul par CFD





MERCI POUR VOTRE ATTENTION